

TP02: Tension superficielle

Bilbio: - Quaranta I

- gouttes, bulles, perles et ondes
- guyon

Plan:

I - Découverte de la tension superficielle

- loi de Laplace
- mouillage

II - Mesures de tensions superficielles

- loi de Jerrin
- balance d'anachétement

III - Ondes gravito-capillaires

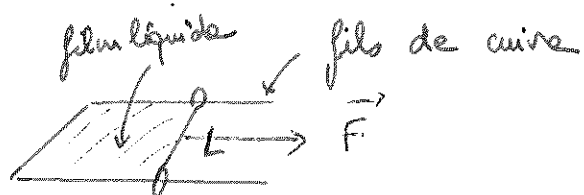
Info: lorsque 2 liquides non miscibles (ou liquide + air) sont mis en contact: phénomènes de tension superficielle apparaissent. Cette tension est associée aux forces de cohésion entre les molécules d'un fluide : une molécule en surface a moitié moins de voisines.

la capillarité (= étude des interfaces) joue un rôle majeur dans de nombreux domaines industriels (automobile, textile, sols, ...)

I) Découverte de la tension superficielle:

1) Dire en évidence:

exp:



on lâche le côté mobile, il se déplace pour minimiser la surface du film. Pour accroître la surface de $dS = L dx$ il faut fournir une énergie dW : $dW = F dl = \gamma L dx = 2\gamma dS$

\uparrow
face à appliquer \uparrow 2 interfaces

C'est la définition de γ : c'est une énergie par unité de surface (s'exprime en N/m).

Ob: eau pure $\gamma \approx 20 \cdot 10^{-3}$ N/m
mercure $\gamma \approx 480 \cdot 10^{-3}$ N/m.

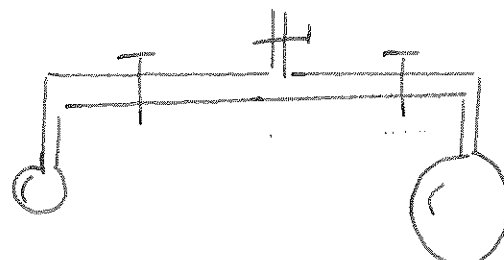
2) Forces de pression associées : loi de Laplace



$$\text{oint} - \text{pert} = \frac{4\gamma}{R}$$

à la traversée de la bulle : discontinuité de la pression

exp:

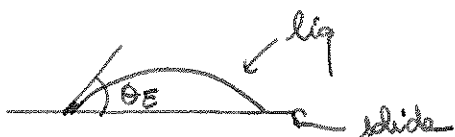


→ la petite bulle se vide de la grosse

Expérience de la loi de Laplace: Δp (petite) = $\frac{4\gamma}{R_{\text{petite}}} > \Delta p$ (grosse) = $\frac{4\gamma}{R_{\text{grosse}}}$

3) Phénomène de marquage :

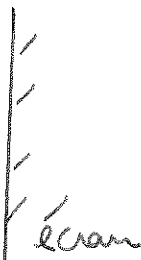
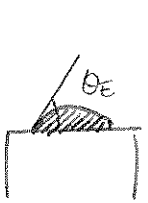
marquage = étude de l'étallement d'un liquide déposé sur un substrat solide.



pour $\theta_E < \frac{\pi}{2} \rightarrow$ surface hydrophile

ex: eau sur du verre

hydrofuge:



écran

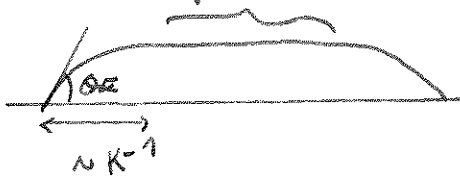
$\theta_E < \frac{\pi}{2}$: la surface est hydrophile

pour $\theta_E > \frac{\pi}{2}$: surface hydrophobe

ex: eau sur du teflon

gravité domine

Résumé: 1)



on définit la longueur capillaire $K^{-1} = \sqrt{\frac{2\gamma}{\rho g}}$

(≈ 2 mm pour les liquides)

en dessous en K^{-1} : effets de tension superficielle dominent.

au dessus de K^{-1} : gravité domine

2) l'angle de la goutte posée est $\approx \theta_A$ (angle d'avancée)

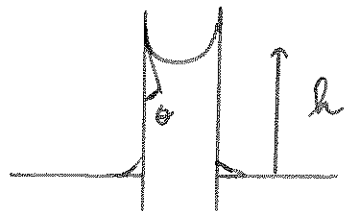
si on aspire la goutte : on mesure θ_R (angle de reculée)

II) Réserves de tension de surface

1) Loi de Jurin:

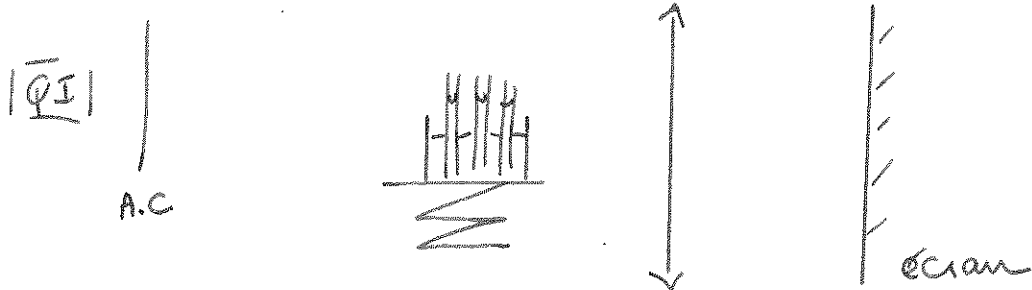
On utilise 5 tubes de diamètres différents.
 - " de l'éthanol.

$$\text{Loi de Jurin: } h = \frac{2\gamma}{\rho g r}$$



hyp: mouillage total $\Rightarrow \cos \theta \approx 1$

dispositif:



on observe les tubes sur l'écran.

↑ mesurer le grossissement du dispositif!

On mesure les $\neq h$: on trace $h = f(\frac{1}{r})$ ↑ est le rayon des tubes

$$\text{pente de la droite: } \frac{2\gamma}{\rho g} = \pm m^2$$

$$\Rightarrow \boxed{\gamma = (\pm) m/m \text{ (éthanol)}} \quad \rho_{\text{éthanol}} =$$

valeur calculée $\gamma_{\text{éthanol/air}} = 22 \text{ mN/m}$.

2) Balance d'ancrage:

principe:



quand on lâche:

$$F = 2\gamma L$$

balance de l'ENS: $L = 2 \text{ cm}$ (incertitude: 1 mm)

Il faut au préalable régler le zéro de la balance avec des petits poids.

Réu: la balance semble cassée, donc je fais un produit en croix pour avoir la vraie valeur.

$$F = \pm mN$$

$$\Rightarrow \gamma = \frac{F}{2L} = (\pm) mN/m \quad \text{pour l'eau}$$

valeur tabulée: $\gamma_{\text{eau}} \text{ (très propre)} = \mp 2 \text{ mN/m}$.

III) Ondes gravito-capillaires:

mécanismes qui conduisent au retour à l'équilibre de la surface libre (longue onde & plongée) sont:

- la gravité
- la tension superficielle

On montre que la relation de dispersion de ces ondes est:

$$c^2 = \frac{g}{h} \operatorname{th}(hk) \left(1 + \frac{\gamma k^2}{\rho g}\right)$$

le terme $\operatorname{th}(hk)$ est ≈ 1 pour les ondes dites en "eau profonde"

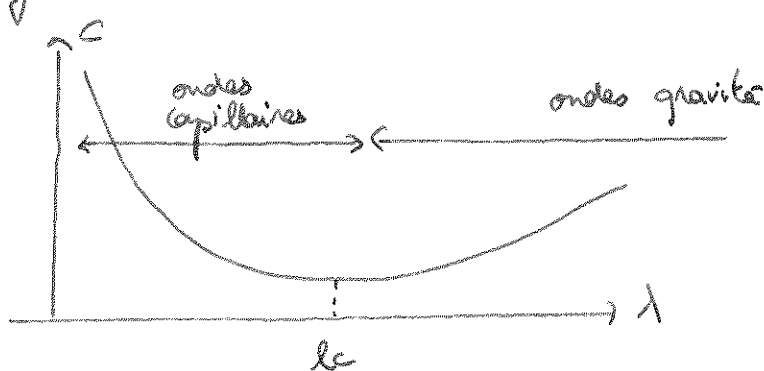
mais si $h \ll k$ (notre cas): $\operatorname{th}(hk) = 0,9996 \dots$

$$\text{on a donc } c^2 = \frac{g}{k} \left(1 + k^2 l_c^2\right) \quad (l_c = \sqrt{\frac{F}{\rho g}})$$

$$\text{si } k \gg l_c : c^2 \approx \frac{g}{k}$$

$$\text{si } k \ll l_c : c^2 \approx g k l_c^2$$

graphiquement:



exp: Cane à cordes (avec de l'eau)
 pour des fréquences: on mesure λ
 → on calcule $c = \lambda f$

$$\text{on trace } c^2 = \frac{g\lambda}{2\pi} + \frac{2\pi f}{\rho}$$

on peut renoncer à l'eau:

$$\text{on trace: } c^2 - \frac{g\lambda}{2\pi} = f\left(\frac{1}{\lambda}\right)$$

$$\rightarrow \text{droite de coefficient } \frac{2\pi}{\rho} = m^3 \cdot s^{-2}$$

$$\Rightarrow \boxed{\gamma_{\text{eau}} = \pm mN/m}$$

On compare les méthodes de mesure de γ ...

Cd: → on a plusieurs méthodes de mesure de γ .

mais il en existe d'autres (méthode de la "goutte pendante"
 dont la forme est analysée → précision $\sim 1\%$)

→ bcp de recherche sur les tensions superficielles; utilisé
 en industrie ...